

HHL - Algorithmus

Alfred Nguyen

Fakultät der Informatik
Technische Universität München
85758 Garching, Bavaria

June 2023

Gliederung

Einführung/Motivation

HHL Algorithmus

Einfaches Beispiel

Evaluierung

Zukunftsperspektiven/Anwendungen

Gliederung

Einführung/Motivation

HHL Algorithmus

Einfaches Beispiel

Evaluierung

Zukunftsperspektiven/Anwendungen

Einführung

Wir haben schon viel über die wichtigsten Algorithmen gehört

- ▶ Shors-Algorithmus
- ▶ Grover-Algorithmus

Einführung

Wir haben schon viel über die wichtigsten Algorithmen gehört

- ▶ Shors-Algorithmus
- ▶ Grover-Algorithmus

Der HHL-Algorithmus

- ▶ erstellt von Aram Harrow, Avinatan Hassidim und Seth Lloyd
- ▶ lösen von sehr großen linearen Gleichungen

$$A\vec{x} = \vec{b}$$

Motivation

Es löst grundlegendes Probleme in der Mathematik

- ▶ Least square fitting
- ▶ Optimierungs Probleme
- ▶ Simulationen und Imageprocessing
- ▶ ...

Das Problem

Gegeben:

- ▶ Matrix A der Form $n \times n$
- ▶ Vektor \vec{b}

Das Problem

Gegeben:

- ▶ Matrix A der Form $n \times n$
- ▶ Vektor \vec{b}

Löse das System:

$$A\vec{x} = \vec{b}$$

$$\vec{x} = A^{-1}\vec{b}$$

Das Problem

Gegeben:

- ▶ Matrix A der Form $n \times n$
- ▶ Vektor \vec{b}

Löse das System:

$$A\vec{x} = \vec{b}$$

$$\vec{x} = A^{-1}\vec{b}$$

Wir sind also daran interessiert das Inverse A^{-1} zu finden

Gliederung

Einführung/Motivation

HHL Algorithmus

Einfaches Beispiel

Evaluierung

Zukunftsperspektiven/Anwendungen

Übersicht

Unser Ziel:

$$|x\rangle = A^{-1} |b\rangle$$

Übersicht

Unser Ziel:

$$|x\rangle = A^{-1} |b\rangle$$

Wenn $A = \overline{A^T} = A^\dagger$:

$$|x\rangle = e^{-iAt} |b\rangle$$

Übersicht

Unser Ziel:

$$|x\rangle = A^{-1} |b\rangle$$

Wenn $A = \overline{A^T} = A^\dagger$:

$$|x\rangle = e^{-iAt} |b\rangle$$

Wenn $A \neq A^\dagger$:

$$A\vec{x} = \vec{b}$$
$$\begin{pmatrix} 0 & A \\ \overline{A^T} & 0 \end{pmatrix} \begin{pmatrix} 0 \\ \vec{x} \end{pmatrix} = \begin{pmatrix} \vec{b} \\ 0 \end{pmatrix}$$

Übersicht

Unser Ziel:

$$|x\rangle = A^{-1} |b\rangle$$

Wenn $A = \overline{A^T} = A^\dagger$:

$$|x\rangle = e^{-iAt} |b\rangle$$

Wenn $A \neq A^\dagger$:

$$A\vec{x} = \vec{b}$$
$$\begin{pmatrix} 0 & A \\ \overline{A^T} & 0 \end{pmatrix} \begin{pmatrix} 0 \\ \vec{x} \end{pmatrix} = \begin{pmatrix} \vec{b} \\ 0 \end{pmatrix}$$

Wir können A diagonalisieren

$$A = U \begin{pmatrix} \lambda_1 & 0 & 0 \\ 0 & \dots & 0 \\ 0 & 0 & \lambda_n \end{pmatrix} U^T$$
$$\Rightarrow A^{-1} = U^T \begin{pmatrix} \lambda_1^{-1} & 0 & 0 \\ 0 & \dots & 0 \\ 0 & 0 & \lambda_n^{-1} \end{pmatrix} U$$

Der Algorithmus

Ablauf

1. State Preparation

Der Algorithmus

Ablauf

1. State Preparation

- ▶ Enkodiert Vektor und Matrix in Quanten Computer

Der Algorithmus

Ablauf

1. State Preparation
 - ▶ Enkodiert Vektor und Matrix in Quanten Computer
2. Quantum Phase Estimation

Der Algorithmus

Ablauf

1. State Preparation
 - ▶ Enkodiert Vektor und Matrix in Quanten Computer
2. Quantum Phase Estimation
 - ▶ ermittelt Eigenwerte

Der Algorithmus

Ablauf

1. State Preparation
 - ▶ Enkodiert Vektor und Matrix in Quanten Computer
2. Quantum Phase Estimation
 - ▶ ermittelt Eigenwerte
3. Ancilla Bit Rotation

Der Algorithmus

Ablauf

1. State Preparation
 - ▶ Enkodiert Vektor und Matrix in Quanten Computer
2. Quantum Phase Estimation
 - ▶ ermittelt Eigenwerte
3. Ancilla Bit Rotation
 - ▶ Invertiert Eigenwerte

Der Algorithmus

Ablauf

1. State Preparation
 - ▶ Enkodiert Vektor und Matrix in Quanten Computer
2. Quantum Phase Estimation
 - ▶ ermittelt Eigenwerte
3. Ancilla Bit Rotation
 - ▶ Invertiert Eigenwerte
4. Inverse Quantum Phase Estimation

Der Algorithmus

Ablauf

1. State Preparation
 - ▶ Enkodiert Vektor und Matrix in Quanten Computer
2. Quantum Phase Estimation
 - ▶ ermittelt Eigenwerte
3. Ancilla Bit Rotation
 - ▶ Invertiert Eigenwerte
4. Inverse Quantum Phase Estimation
 - ▶ löst verschränkte Qubits auf

Der Algorithmus

Ablauf

1. State Preparation
 - ▶ Enkodiert Vektor und Matrix in Quanten Computer
2. Quantum Phase Estimation
 - ▶ ermittelt Eigenwerte
3. Ancilla Bit Rotation
 - ▶ Invertiert Eigenwerte
4. Inverse Quantum Phase Estimation
 - ▶ löst verschränkte Qubits auf
5. Messung

Der Algorithmus

Ablauf

1. State Preparation
 - ▶ Enkodiert Vektor und Matrix in Quanten Computer
2. Quantum Phase Estimation
 - ▶ ermittelt Eigenwerte
3. Ancilla Bit Rotation
 - ▶ Invertiert Eigenwerte
4. Inverse Quantum Phase Estimation
 - ▶ löst verschränkte Qubits auf
5. Messung
 - ▶ liest das Ergebnis $|x\rangle$ aus

Gliederung

Einführung/Motivation

HHL Algorithmus

Einfaches Beispiel

Evaluierung

Zukunftsperspektiven/Anwendungen

Einfaches Beispiel

Matrix A und Vektor \vec{b} :

$$A = \begin{pmatrix} 1 & -\frac{1}{3} \\ -\frac{1}{3} & 1 \end{pmatrix}$$

$$\vec{b} = \begin{pmatrix} 0 \\ 1 \end{pmatrix}$$

Einfaches Beispiel

Matrix A und Vektor \vec{b} :

$$A = \begin{pmatrix} 1 & -\frac{1}{3} \\ -\frac{1}{3} & 1 \end{pmatrix}$$

$$\vec{b} = \begin{pmatrix} 0 \\ 1 \end{pmatrix}$$

Klassische Lösung

$$\vec{x} = \begin{pmatrix} 3 \\ 0 \\ 0 \\ 0 \end{pmatrix}$$

Wahrscheinlichkeits Verhältnis
der Lösung:

$$\frac{|x_0|^2}{|x_1|^2} = \frac{\frac{9}{64}}{\frac{81}{64}} = \frac{1}{9}$$

Einfach Beispiel

Eigenvektoren von A sind:

$$\vec{u}_0 = \begin{pmatrix} \frac{-1}{\sqrt{2}} \\ \frac{1}{\sqrt{2}} \end{pmatrix}$$

$$\vec{u}_1 = \begin{pmatrix} \frac{-1}{\sqrt{2}} \\ \frac{1}{\sqrt{2}} \end{pmatrix}$$

Einfach Beispiel

Eigenvektoren von A sind:

$$\vec{u}_0 = \begin{pmatrix} \frac{-1}{\sqrt{2}} \\ \frac{-1}{\sqrt{2}} \end{pmatrix}$$

$$\vec{u}_1 = \begin{pmatrix} \frac{-1}{\sqrt{2}} \\ \frac{1}{\sqrt{2}} \end{pmatrix}$$

Enkodiert

$$|u_0\rangle = \frac{-1}{\sqrt{2}} |0\rangle + \frac{-1}{\sqrt{2}} |1\rangle$$

$$|u_1\rangle = \frac{-1}{\sqrt{2}} |0\rangle + \frac{1}{\sqrt{2}} |1\rangle$$

Einfach Beispiel

Eigen von A sind:

$$\lambda_0 = \frac{2}{3}$$

$$\lambda_1 = \frac{4}{3}$$

Einfach Beispiel

Eigen von A sind:

$$\lambda_0 = \frac{2}{3}$$

$$\lambda_1 = \frac{4}{3}$$

Enkodierungsschema:

$$\tilde{\lambda}_j = N\lambda_j t / 2\pi$$

Einfach Beispiel

Eigen von A sind:

$$\lambda_0 = \frac{2}{3}$$

$$\lambda_1 = \frac{4}{3}$$

Enkodierungsschema:

$$\widetilde{\lambda}_j = N\lambda_j t / 2\pi$$

Einkodiert:

$$\widetilde{\lambda}_0 = 1$$

$$\widetilde{\lambda}_1 = 2$$

$$|\widetilde{\lambda}_0\rangle = |01\rangle$$

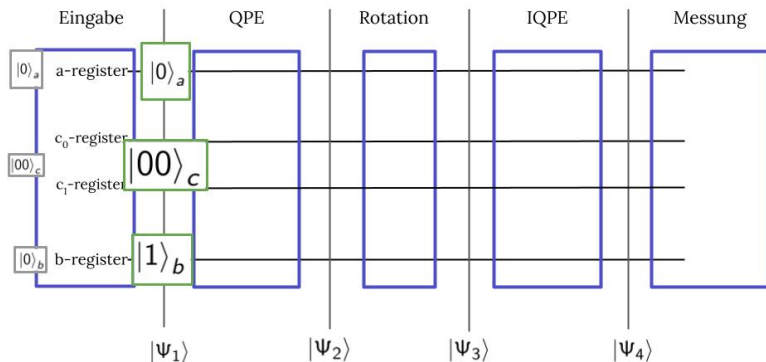
$$|\widetilde{\lambda}_1\rangle = |10\rangle$$

State Preparation

- ▶ \vec{b} wird als Quantenzustand $|b\rangle$ kodiert
- ▶ in unserem Fall ist es sehr einfach

$$\vec{b} = \begin{pmatrix} 0 \\ 1 \end{pmatrix} \Leftrightarrow |b\rangle = 0|0\rangle + 1|1\rangle = |1\rangle$$

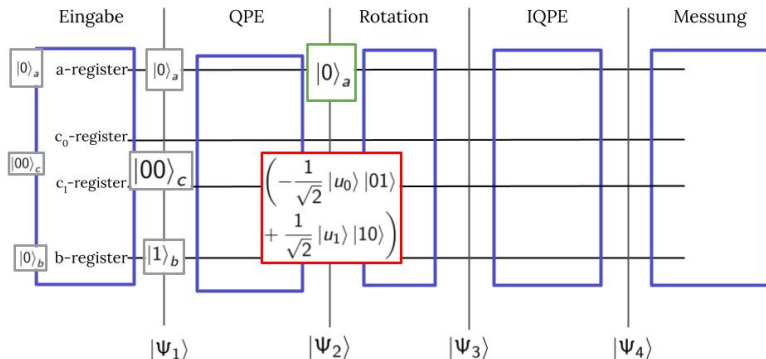
State Preparation



Wir starten im 1 Zustand

$$|\psi_1\rangle = |1\rangle_b |00\rangle_c |0\rangle_a = |1000\rangle$$

Quantum Phase Estimation



Wir erhalten:

$$|\psi_2\rangle = |b\rangle_b |\tilde{\lambda}\rangle_c |0\rangle_a$$

$$|\psi_2\rangle = \left(-\frac{1}{\sqrt{2}} |u_0\rangle |01\rangle + \frac{1}{\sqrt{2}} |u_1\rangle |10\rangle \right) |0\rangle_a$$

Ancilla Rotation - Eigenwerte invertieren

Ancilla Rotation - Eigenwerte invertieren

Wir rotieren das Ancilla Qubit:

$$|\Psi_3\rangle = \sum_{j=0}^{2^1-1} b_j |u_j\rangle |\tilde{\lambda}_j\rangle \left(\sqrt{1 - \frac{C^2}{\tilde{\lambda}_j^2}} |0\rangle + \frac{C}{\tilde{\lambda}_j} |1\rangle \right)$$

Ancilla Rotation - Eigenwerte invertieren

Wir rotieren das Ancilla Qubit:

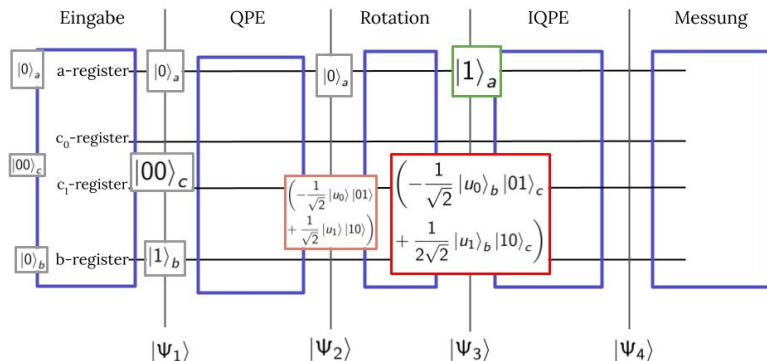
$$|\psi_3\rangle = \sum_{j=0}^{2^1-1} b_j |u_j\rangle |\tilde{\lambda}_j\rangle \left(\sqrt{1 - \frac{C^2}{\tilde{\lambda}_j^2}} |0\rangle + \frac{C}{\tilde{\lambda}_j} |1\rangle \right)$$

Wir gehen davon aus, dass wir $|1\rangle$ messen.

$$|\psi_3\rangle = \sqrt{\frac{8}{5}} \left(\frac{1}{\tilde{\lambda}_0} * -\frac{1}{\sqrt{2}} |u_0\rangle_b |01\rangle_c + \frac{1}{\tilde{\lambda}_1} * \frac{1}{\sqrt{2}} |u_1\rangle_b |10\rangle_c \right) |1\rangle_a$$

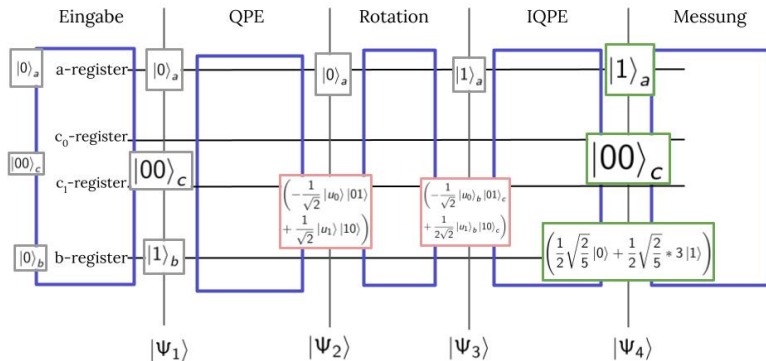
$$|\psi_3\rangle = \sqrt{\frac{8}{5}} \left(-\frac{1}{\sqrt{2}} |u_0\rangle_b |01\rangle_c + \frac{1}{2\sqrt{2}} |u_1\rangle_b |10\rangle_c \right) |1\rangle_a$$

Ancilla Rotation - Eigenwerte invertieren



$$|\psi_3\rangle = \sqrt{\frac{8}{5}} \left(-\frac{1}{\sqrt{2}} |u_0\rangle |01\rangle |1\rangle + \frac{1}{2\sqrt{2}} |u_1\rangle |10\rangle \right) |1\rangle_a$$

Inverse Quantum Phase Estimation



Wir erhalten:

$$|\Psi_4\rangle = |x\rangle_b |00\rangle_c |1\rangle_a$$

$$|\Psi_4\rangle = \frac{1}{2}\sqrt{\frac{2}{5}}(|0\rangle + 3|1\rangle)|00\rangle_b |1\rangle_a$$

Messung

Um die Wahrscheinlichkeit von x_0 und x_1 zu erhalten, müssen wir ihre Koeffizienten quadrieren

$$Pr[x_0] = \left| \frac{1}{2} \sqrt{\frac{2}{5}} * 1 \right|^2 = \frac{1}{20}$$

$$Pr[x_1] = \left| \frac{1}{2} \sqrt{\frac{2}{5}} * 3 \right|^2 = \frac{9}{20}$$

Das Verhältnis im b-Register ist wie erwartet 1 : 9.

Gliederung

Einführung/Motivation

HHL Algorithmus

Einfaches Beispiel

Evaluierung

Zukunftsperspektiven/Anwendungen

Gauß Verfahren

$$\mathcal{O}(N^3)$$

- ▶ nicht der schnellste Algorithmus
- ▶ gleiche constraints sind zu beachten!!

Laufzeit

Klassisch

Conjugate gradient descent

$$\mathcal{O}(\kappa \log\left(\frac{1}{\epsilon}\right) N)$$

$$\Rightarrow \mathcal{O}(N)$$

Quanten Version

HHL

Laufzeit

Klassisch

Conjugate gradient descent

$$\mathcal{O}\left(\kappa s \log\left(\frac{1}{\epsilon}\right) N\right)$$

$$\Rightarrow \mathcal{O}(N)$$

Quanten Version

HHL

$$\mathcal{O}\left(\frac{\kappa^2 s^2}{\epsilon} \log N\right)$$

$$\Rightarrow \mathcal{O}(\log(N))$$

Laufzeit

Klassisch

Conjugate gradient descent

$$\mathcal{O}\left(\kappa s \log\left(\frac{1}{\epsilon}\right) N\right)$$

$$\Rightarrow \mathcal{O}(N)$$

- ▶ $N :=$ Anzahl an unbekannten
- ▶ $\kappa = \frac{\lambda_{\max}}{\lambda_{\min}}$: condition number

Quanten Version

HHL

$$\mathcal{O}\left(\frac{\kappa^2 s^2}{\epsilon} \log N\right)$$

$$\Rightarrow \mathcal{O}(\log(N))$$

- ▶ $\epsilon :=$ Fehler des Ergebnisses
- ▶ $s :=$ s-sparse Matrix: jede Zeile hat max. s Einträge

Laufzeit

Klassisch

Conjugate gradient descent

$$\mathcal{O}\left(\kappa s \log\left(\frac{1}{\epsilon}\right) N\right)$$

$$\Rightarrow \mathcal{O}(N)$$

Quanten Version

HHL

$$\mathcal{O}\left(\frac{\kappa^2 s^2}{\epsilon} \log N\right)$$

$$\Rightarrow \mathcal{O}(\log(N))$$

Laufzeit

Klassisch

Conjugate gradient descent

$$\mathcal{O}\left(\kappa s \log\left(\frac{1}{\epsilon}\right) N\right)$$

$$\Rightarrow \mathcal{O}(N)$$

Quanten Version

HHL

$$\mathcal{O}\left(\frac{\kappa^2 s^2}{\epsilon} \log N\right)$$

$$\Rightarrow \mathcal{O}(\log(N))$$

Takeaway

- ▶ exponentialer speed up $\mathcal{O}(N)$ vs $\mathcal{O}(\log(N))$
- ▶ klassischer algorithmus hat bessere Fehlerabhängigkeit:
 $\log\left(\frac{1}{\epsilon}\right)$ vs $\frac{1}{\epsilon}$

Einschränkungen

1. niedrige condition number κ

Einschränkungen

1. niedrige condition number κ
2. A muss s -sparse sein

Einschränkungen

1. niedrige condition number κ
2. A muss s -sparse sein
3. nicht jeder Eintrag von $|x\rangle$ auslesbar

Einschränkungen

1. niedrige condition number κ
2. A muss s-sparse sein
3. nicht jeder Eintrag von $|x\rangle$ auslesbar
4. einfache Zustandsvorbereitung des Vektors \vec{b} zum Quantenzustand $|b\rangle$

Einschränkungen

1. niedrige condition number κ
2. A muss s -sparse sein
3. nicht jeder Eintrag von $|x\rangle$ auslesbar
4. einfache Zustandsvorbereitung des Vektors \vec{b} zum Quantenzustand $|b\rangle$
5. Der Ressourcenbedarf ist hoch

Gliederung

Einführung/Motivation

HHL Algorithmus

Einfaches Beispiel

Evaluierung

Zukunftsperspektiven/Anwendungen

Anwendungen

Hauptproblem

- ▶ Hauptproblem: gibt keinen vollständigen Vektor aus
- ▶ Aber einige Probleme können mit dieser Methode gelöst werden:

Anwendungen

Machine Learning: Least-Square-Fitting

- ▶ Datenanpassung mit Least Square Fitting
- ▶ durch Berechnung einer Schätzung der inversen Matrix

Anwendungen

Machine Learning: Least-Square-Fitting

- ▶ Datenanpassung mit Least Square Fitting
- ▶ durch Berechnung einer Schätzung der inversen Matrix

Simulationen von großen Systemen

- ▶ Elektrizitätsnetz vielen verbundenen Komponenten
- ▶ geringe Anzahl Verbindungen zwischen den Komponenten
- ▶ Berechnung des Widerstands durch approximation von Erwartungswerten

Anwendung in IT-Security

HHL in der IT-Security

- ▶ in erster Linie nur für Lösen von linearen Systemen
- ▶ nicht direkt mit IT-Security verbunden
- ▶ aber Potenzial als Subroutine angewendet zu werden

Anwendung in IT-Security

HHL in der IT-Security

- ▶ in erster Linie nur für Lösen von linearen Systemen
- ▶ nicht direkt mit IT-Security verbunden
- ▶ aber Potenzial als Subroutine angewendet zu werden

Mögliche Anwendungen

- ▶ secure multi-party computation
- ▶ zero-knowledge proofs
- ▶ big data analysis/pattern recognition (für Betrugserkennung)

Anwendung in IT-Security

HHL in der IT-Security

- ▶ in erster Linie nur für Lösen von linearen Systemen
- ▶ nicht direkt mit IT-Security verbunden
- ▶ aber Potenzial als Subroutine angewendet zu werden

Mögliche Anwendungen

- ▶ secure multi-party computation
- ▶ zero-knowledge proofs
- ▶ big data analysis/pattern recognition (für Betrugserkennung)

Es wäre wichtig, mehr Anwendungen zu finden, welche den Anforderungen entsprechen.

Optimierungen

Modifikationen und Optimierung

- ▶ QRAM zur Vorbereitung von $|b\rangle$

Optimierungen

Modifikationen und Optimierung

- ▶ QRAM zur Vorbereitung von $|b\rangle$
- ▶ kein Ancilla-Bit erforderlich unter bestimmten Voraussetzungen

Optimierungen

Modifikationen und Optimierung

- ▶ QRAM zur Vorbereitung von $|b\rangle$
- ▶ kein Ancilla-Bit erforderlich unter bestimmten Voraussetzungen
- ▶ Variable time amplitude amplification um condition number κ zu verbessern

Perspektive

- ▶ Großer Einfluss im Bereich Quantum Machine Learning

Perspektive

- ▶ Großer Einfluss im Bereich Quantum Machine Learning
- ▶ noch keine bahnbrechenden Anwendungen (wie z.B. Shors Algorithmus zum Brechen von RSA)

Perspektive

- ▶ Großer Einfluss im Bereich Quantum Machine Learning
- ▶ noch keine bahnbrechenden Anwendungen (wie z.B. Shors Algorithmus zum Brechen von RSA)
- ▶ aber viel aktive Forschung um neue Verbesserungen im Algorithmus zu finden

Perspektive

- ▶ Großer Einfluss im Bereich Quantum Machine Learning
- ▶ noch keine bahnbrechenden Anwendungen (wie z.B. Shors Algorithmus zum Brechen von RSA)
- ▶ aber viel aktive Forschung um neue Verbesserungen im Algorithmus zu finden
- ▶ zeigt deutlichen Fortschritt in der Quantencomputing Welt

Danke für Eure Aufmerksamkeit:)

Misc Folien

Übersicht

Man kann A auch in der Spektralzerlegung darstellen

$$A = \sum_{i=0}^{2^{n_b}-1} \lambda_i |u_i\rangle \langle u_i|$$

► n_b ist die Länge \vec{b}

► λ_i sind Eigenwerte von A

► $|u_i\rangle$ sind Eigenvektoren von A

$$A^{-1} = \sum_{i=0}^{2^{n_b}-1} \lambda_i^{-1} |u_i\rangle \langle u_i|$$

\vec{b} kann in der Eigenbasis von A dargestellt werden

$$|b\rangle = \sum_{j=0}^{2^{n_b}-1} b_j |u_j\rangle$$

► b_i sind die Koeffizienten von \vec{b}

► $|u_i\rangle$ sind Eigenvektoren von A

Übersicht

Setzen wir nun alles ein:

$$|x\rangle = A^{-1} |b\rangle = \left(\sum_{i=0}^{2^{n_b}-1} \lambda_i^{-1} |u_i\rangle \langle u_i| \right) \left(\sum_{j=0}^{2^{n_b}-1} b_j |u_j\rangle \right)$$

$$|x\rangle = \sum_{i=0}^{2^{n_b}-1} \sum_{j=0}^{2^{n_b}-1} \lambda_i^{-1} |u_i\rangle \langle u_i| b_j |u_j\rangle$$

$$|x\rangle = \sum_{i=0}^{2^{n_b}-1} \sum_{j=0}^{2^{n_b}-1} \lambda_i^{-1} b_j |u_i\rangle \langle u_i| u_j\rangle$$

$$|x\rangle = \sum_{i=0}^{2^{n_b}-1} \sum_{j=0}^{2^{n_b}-1} \lambda_i^{-1} b_j |u_i\rangle \delta_{ij}$$

Übersicht

Setzen wir nun alles ein (Fort.):

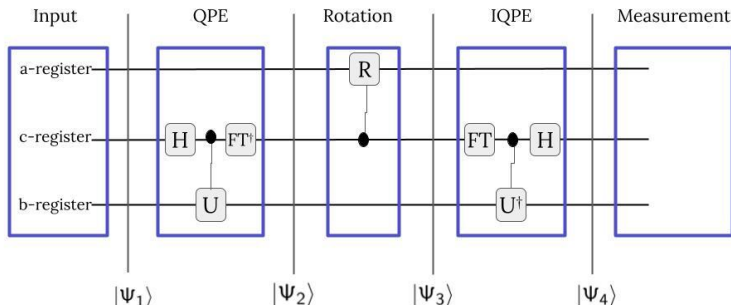
$$|x\rangle = \sum_{i=0}^{2^{n_b}-1} \sum_{j=0}^{2^{n_b}-1} \lambda_i^{-1} b_j |u_i\rangle \delta_{ij}$$

$$|x\rangle = A^{-1} |b\rangle = \sum_{i=0}^{2^{n_b}-1} \lambda_i^{-1} b_j |u_j\rangle$$

Übersicht

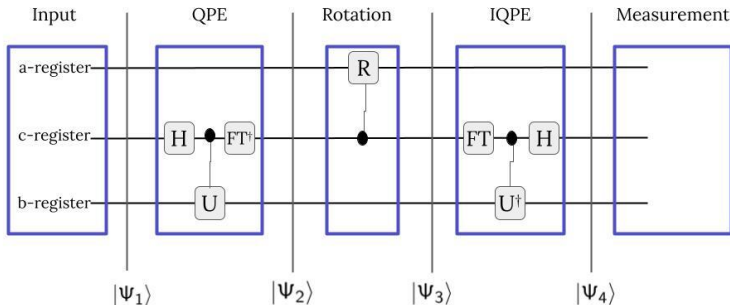
1. Ermittle die Eigenwerte und Eigenvektoren von A
2. bilde $|b\rangle$ in Eigenbasis A ab
3. Invertiert Eigenwerte
4. lies das Ergebnis $|x\rangle$ aus

Quantum Circuit



1. Ancilla (Helfer): a-register
 - ▶ Indikator qubit, zeigt ob Zustände verschränkt sind
2. Register: c-register
 - ▶ beinhaltet die Eigenwerte
3. Input: b-register
 - ▶ beinhaltet den Vektor \vec{b}

Quantum Circuit

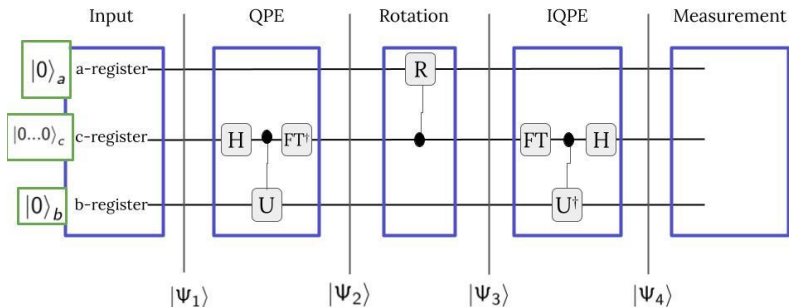


Wo befindet sich die Matrix A ?

Da A hermitisch ist kann es als Unitary in die Phase Estimation enkodiert werden.

$$U = e^{iAt}$$

State Preparation



Wir starten im 0 Zustand

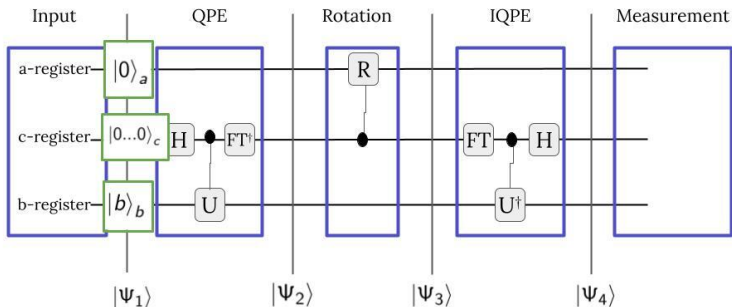
$$|\psi_0\rangle = |0\rangle_b |0\rangle_c |0\rangle_a$$

State Preparation

Nun werden wir \vec{b} als Quantenzustand $|b\rangle$ kodieren, indem wir die Elementen von \vec{b} den Amplituden von $|b\rangle$ zuordnen.

$$\vec{b} = \begin{pmatrix} b_0 \\ b_1 \\ \dots \\ b_n \end{pmatrix} \Leftrightarrow b_0 |0\rangle + b_1 |1\rangle + \dots + b_n |n\rangle = |b\rangle$$

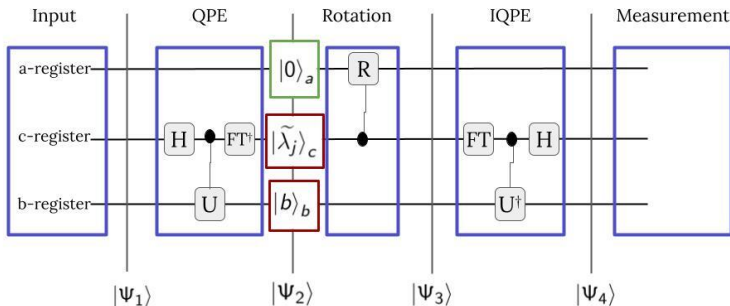
State Preparation



Dann erhalten wir:

$$|\psi_1\rangle = |b\rangle_b |0\dots 0\rangle_c |0\rangle_a$$

Quantum Phase Estimation



Wir wenden QPE an, um die Eigenwerte von A zu erhalten. Dann erhalten wir:

$$|\Psi_2\rangle = |b\rangle_b |\tilde{\lambda}_j\rangle_c |0\rangle_a$$

Ancilla Rotation - Eigenwerte invertieren

Rotation des Ancilla Bits

- ▶ Ancilla-Bit $|0\rangle_a$ wird anhand der Eigenwerte $|\tilde{\lambda}_j\rangle$ rotiert
- ▶ hat eine Fehlerwahrscheinlichkeit, da Operation nicht unitär

Ancilla-Qubit wird gemessen und kollabiert zu

1. $|0\rangle$: Ergebnis wird verworfen, Berechnung wird wiederholt
 - ▶ wir haben verschränkte Qubits
 - ▶ dies wird Amplitudenverstärkung genannt (wie Grover)
2. $|1\rangle$: Ergebnis wird akzeptiert

Ancilla Rotation - Eigenwerte invertieren

Rotation des Ancilla Bits

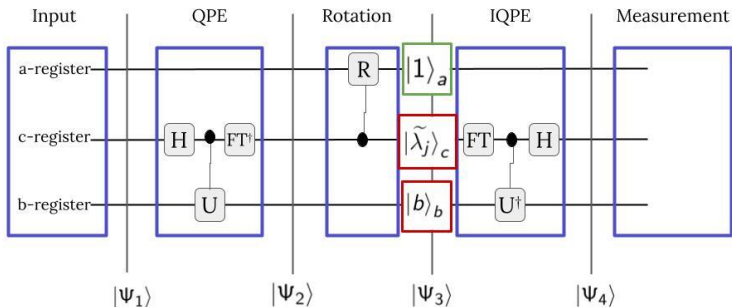
$$|\psi_3\rangle = |b\rangle_b |\tilde{\lambda}\rangle_c \left(\sqrt{1 - \frac{C^2}{\tilde{\lambda}_j^2}} |0\rangle_a + \frac{C}{\tilde{\lambda}_j} |1\rangle_a \right)$$

Das a-Register befindet sich nun in einer Superposition und wir erhalten Inverse der Eigenwerte.

Gehen wir davon aus, dass unsere Ancilla-Qubit auf $|1\rangle$ kollabiert.

$$|\psi_3\rangle = |b\rangle_b |\tilde{\lambda}\rangle_c \widetilde{\lambda^{-1}} |1\rangle_a$$

Ancilla Rotation - Eigenwerte invertieren



Dann erhalten wir:

$$|\psi_3\rangle = |b\rangle_b |\tilde{\lambda}\rangle_c \widetilde{\lambda^{-1}} |1\rangle_a$$

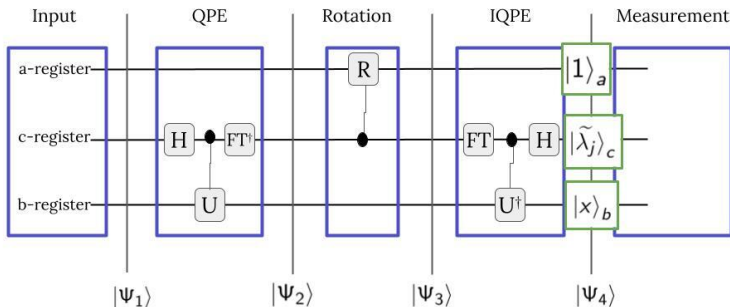
Ancilla Rotation - Eigenwerte invertieren

Uns fällt auf, dass wir schon sehr nah an unserem Ergebnis sind

$$|\psi_3\rangle = |b\rangle_b |\widetilde{\lambda}\rangle_c \widetilde{\lambda^{-1}} |1\rangle_a \qquad |x\rangle = A^{-1} |b\rangle = \sum_{i=0}^{2^{n_b}-1} \lambda_i^{-1} b_i |u_i\rangle$$

- ▶ Eigenwerte sind invertiert λ^{-1} .
- ▶ aber b-Register mit c-Register verschränkt
- ▶ müssen den Zustand auflösen
- ▶ alle bisherigen Schritte rückgängig machen (IQPE)

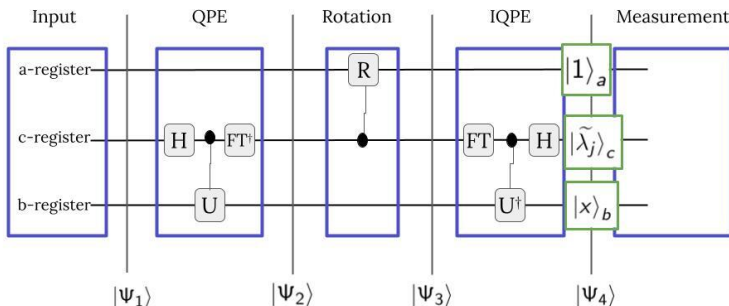
Inverse Quantum Phase Estimation



Dann erhalten wir:

$$|\psi_4\rangle = |x\rangle_b |0\dots 0\rangle_c |1\rangle_a$$

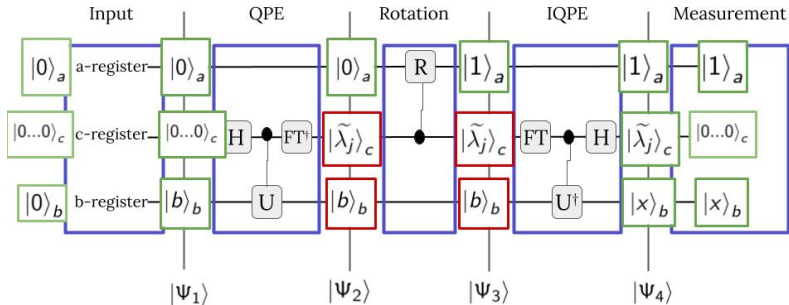
Measurment



- ▶ $|x\rangle_b$ kann nicht elementweise ausgelesen werden
- ▶ können Informationen durch eine Messung M ermitteln

$$E(x) := \langle x | M | x \rangle$$

Überblick



Unsere gesamtes Vorgehen

Enkodierung von Eigenwert

Eigenvektoren von A sind:

$$\lambda_0 = \frac{2}{3}$$

$$\lambda_1 = \frac{4}{3}$$

Enkodierung

$$\widetilde{\lambda}_j = N\lambda_j t / 2\pi$$

$$N = 4$$

$$t = 3\pi/4$$

Einkodiert

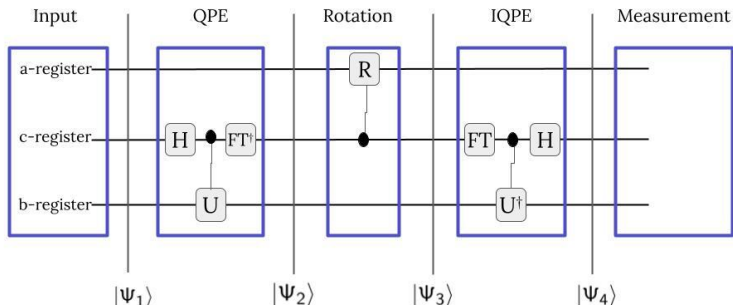
$$\widetilde{\lambda}_0 = \frac{4 * \frac{2}{3} * \frac{3\pi}{4}}{2\pi} = \frac{4 * 2 * 3\pi}{3 * 4 * 2\pi} = 1$$

$$\widetilde{\lambda}_1 = \frac{4 * \frac{4}{3} * \frac{3\pi}{4}}{2\pi} = \frac{4 * 4 * 3\pi}{3 * 4 * 2\pi} = 2$$

$$|\widetilde{\lambda}_0\rangle = |01\rangle$$

$$|\widetilde{\lambda}_1\rangle = |10\rangle$$

Quantum Circuit



1. Ancilla (Helfer): a-register
 - ▶ Indikator qubit, zeigt ob Zustände verschränkt sind
2. Register: c-register
 - ▶ beinhaltet die Eigenwerte
3. Input: b-register
 - ▶ beinhaltet den Vektor \vec{b}

Inverse Quantum Phase Estimation

Wir führen IQPE aus:

$$|x\rangle_b = A^{-1} |b\rangle = \sum_{i=0}^{2^1-1} \lambda_i^{-1} b_i |u_i\rangle$$

$$|\psi_4\rangle = \frac{2}{3} \sqrt{\frac{8}{5}} \left(-\frac{1}{\frac{2}{3}\sqrt{2}} |u_0\rangle + \frac{1}{\frac{4}{3}\sqrt{2}} |u_1\rangle \right) |00\rangle_b |1\rangle_a$$

Wir erinnern uns an unsere Eigenvektoren:

- ▶ $|u_0\rangle = \frac{-1}{\sqrt{2}} |0\rangle + \frac{-1}{\sqrt{2}} |1\rangle$
- ▶ $|u_1\rangle = \frac{-1}{\sqrt{2}} |0\rangle + \frac{1}{\sqrt{2}} |1\rangle$

$$|\psi_4\rangle = \left(\frac{1}{2} \sqrt{\frac{2}{5}} |0\rangle + \frac{1}{2} \sqrt{\frac{2}{5}} * 3 |1\rangle \right) |00\rangle_b |1\rangle_a$$

Einschränkungen

1. niedrige condition number (es ist außerdem nicht einfach κ im Vorhinein zu ermitteln)
2. muss s-sparse sein
3. einfache Zustandsvorbereitung des Vektors \vec{b} zum Quantenzustand $|b\rangle$
 - ▶ wenn man $|b\rangle$ klassisch lesen/schreiben muss, ist der Geschwindigkeitsgewinn weg, da $|b\rangle$ N Einträge hat \rightarrow qram
4. nicht jeder Eintrag von $|x\rangle$ auslesbar
 - ▶ Nachbearbeitung muss erfolgen
 - ▶ nur $\log_2(n)$ Qubits \rightarrow nur eine Näherung
 - ▶ statistische Informationen möglich (Verhältnis, Bereiche großer Einträge, ...)
5. Der Ressourcenbedarf sehr hoch
 - ▶ Shors Algorithmus ist dem HHL-Algorithmus sehr ähnlich (aufgrund von QPE)
 - ▶ untere Grenze von 4000 logischen Qubits (2048bit RSA)
 - ▶ d.h. millionen physikalischer Qubits (für Fehlerkorrektur)